

## АНОМАЛИИ МАГНИТНЫХ И ЭЛЕКТРИЧЕСКИХ СВОЙСТВ В СИСТЕМЕ МЕДЬ-КИСЛОРОД

© А.А.Самохвалов, Т.И.Арбузова, В.В.Осипов, Н.А.Виглин,  
С.В.Наумов, Н.И.Солин, Б.А.Гижевский, И.Б.Смоляк,  
В.А.Теплов, В.П.Пилюгин

Институт физики металлов

Уральского отделения Российской академии наук,  
620219 Екатеринбург, Россия

(Поступила в Редакцию 13 февраля 1996 г.)

В окончательной редакции 13 июня 1996 г.)

Исследованы магнитные и электрические свойства, эффект экранирования и ЭПР частично восстановленногоmonoоксида меди и ряда других образцов системы медь-кислород. В температурной области 100–300 К обнаружены аномалии магнитной восприимчивости, намагниченности, электросопротивления при СВЧ и эффект экранирования. Характер аномалий позволяет предположить, что в исследованных образцах системы медь-кислород возможно образование зародышей метастабильной примесной сверхпроводящей фазы с критической температурой до 200–300 К.

Исследования monoоксида меди в связи с проблемой сверхпроводимости свидетельствуют о близости его основных физических свойств и свойств исходных соединений купратных сверхпроводников. Так, исследования комплекса электрических и оптических свойств указанных соединений показали, что все они являются полупроводниками с малоподвижными носителями заряда типа поляронов малого радиуса [1,2]. Подобны их магнитные свойства: все они являются 3D-антиферромагнетиками ниже температуры  $T_N$  и низкоразмерными 1D или 2D-антиферромагнетиками с состоянием спиновой квантовой жидкости выше  $T_N$  [3]. Близки их оптические спектры [2], низкотемпературное поведение магнитной восприимчивости и магнитострикции [4], О<sub>K</sub>-рентгеновские спектры [5], свидетельствующие о подобии их электронных структур.

Такое подобие свойств является, очевидно, следствием общего для CuO и указанных соединений структурного элемента — слегка искаженного квадратного кластера (CuO<sub>4</sub>). Указанные особенности CuO подтверждаются обнаружением в этом оксиде аномальных электрических [6] и магнитных [7] нестабильностей. Природа этих аномалий еще не выяснена, однако имеются основания предполагать их связь со сверхпроводимостью. Так, в [8] было высказано предположение об образовании в частично восстановленном CuO<sub>x</sub> эпитаксиальных пленок CuO со структурой NaCl, отличной от моноклинной структуры CuO и благоприятной для реализации сверхпроводимости.

Для получения новой информации об аномалиях в CuO в области температур 70–400 К был исследован комплекс магнитных (восприимчивость, намагниченность, ЭПР), электрических (на постоянном токе и при СВЧ) и экранирующих свойств нескольких групп образцов на основе CuO.

## 1. Образцы и методики измерений

С целью выяснения возможности образования в системе Cu–O помимо фаз CuO и Cu<sub>2</sub>O примесей других фаз были приготовлены четыре группы образцов на основе CuO: 1) частично восстановленные образцы CuO<sub>x</sub> с  $x = 0.8\text{--}0.9$  (см. [6]), 2) подвергнутые обработке высоким давлением со сдвиговым вращением (с целью частичного восстановления и размельчения зерен оксида, см. [9]) образцы CuO и CuO с примесью Li и Ag, 3) подвергнутые термообработке образцы CuO с примесью Li, F, Cu<sub>2</sub>O и Cu, 4) контактные структуры — монокристалл CuO-пленка Cu. Образцы подвергались рентгеноструктурному и рентгенофазовому анализам.

Чувствительным методом обнаружения малой примеси сверхпроводящей фазы в образце является метод экранирования. Простой прибор, созданный на основе этого метода, представляет собой воздушный трансформатор, содержащий две соосные катушки, в зазоре между которыми располагается образец в виде таблетки диаметром  $\sim 5\text{ mm}$  и толщиной 0.5–1 mm. Переменный ток в первичной катушке создает магнитное поле в зазоре 0.5–1 Oe. Во вторичной катушке индуцируется сигнал, величина которого зависит от степени экранирования магнитного потока образцов. Градуировка прибора измерениями образцов смеси CuO с добавками фазы YBa<sub>2</sub>Cu<sub>3</sub>O<sub>7</sub> от 0.2 до 5% по объему показала, что наличие в образце примеси сверхпроводящей фазы в 0.3–0.5% четко фиксируется на самописце в виде ступеньки. Величина ступеньки пропорциональна объему сверхпроводящей фазы в образце. Магнитная восприимчивость и намагниченность измерялись соответственно на магнитных весах Фарадея с чувствительностью  $5 \cdot 10^8 \text{ cm}^3/\text{g}$  при  $H \leq 15 \text{ kOe}$  и на вибрационном магнитометре с чувствительностью  $10^{-4} \text{ cm}^3/\text{g}$  при  $H \leq 20 \text{ kOe}$ . ЭПР исследовался на ЭПР-спектрометре ERS-231 в X-диапазоне [10]. Электропроводность на постоянном токе измерялась четырехконтактным способом с использованием вольтметра «Solartron» с чувствительностью  $\sim 10^{-7} \text{ V}$ . Электропроводность при СВЧ измерялась резонаторным способом при 10 GHz [11]. Бесконтактный СВЧ-метод позволяет фиксировать наличие малой примеси сверхпроводящей фазы в образце даже при отсутствии сквозной проводимости через образец.

## 2. Результаты

Следует заметить, что чистые и стехиометрические моно- и поликристаллы CuO, не подвергавшиеся каким-либо воздействиям, никаких аномалий, свидетельствующих о примеси сверхпроводящей фазы, не показывают [3]. В таких образцах отсутствует и ЭПР, что соответствует антиферромагнитной природе CuO [10].

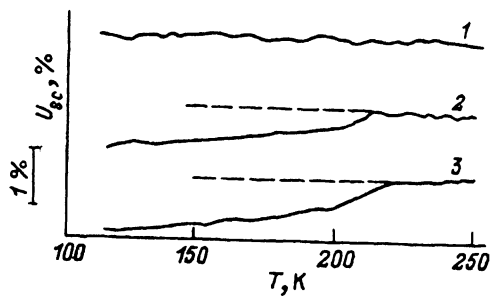


Рис. 1. Температурная зависимость эффекта экранирования для частично восстановленного образца монооксида меди  $\text{CuO}_x$  ( $x = 0.86$ ).

На рис. 1 изображена температурная зависимость эффекта экранирования  $U_{sc}$  для частично восстановленного образца  $\text{CuO}_{0.86}$ . Линия 1 — калибровочная (без образца в приборе). Видно, что разброс величины сигнала не превышает 0.1–0.2%. Кривые 2 и 3 (повтор) свидетельствуют о наличии размытой ступеньки — уменьшении сигнала  $U_{sc}$  за счет экранирования образцом на 1%.

Рис. 2 показывает температурные зависимости магнитной восприимчивости  $\chi$  для того же образца  $\text{CuO}_{0.86}$ , что и на рис. 1, измеренные при  $H = 8900$  (кривая 1) и 500 Ое (кривая 2). Видно, что зависимости  $\chi(T)$  имеют парамагнитный характер (в отличие от стехиометрического образца  $\text{CuO}$ ), т. е. наблюдается повышение  $\chi$  при понижении температуры, и на фоне этого повышения  $\chi$  при 230 К имеется аномалия — четкое и резкое «диамагнитное» уменьшение  $\chi$ . Видно, что относительная величина этой аномалии  $\Delta\chi/\chi$  при  $H = 500$  Ое в несколько раз больше, чем при  $H = 8900$  Ое, т. е. величина «диамагнитной» аномалии уменьшается с ростом  $H$ . Подобная аномалия наблюдалась и для термообработанного образца  $\text{CuO}$  с добавкой меди. Аналогичные аномалии — ступеньки на температурной зависимости намагниченности, измеренной на вибрационном магнитометре при  $H = 500$  Ое, — также наблюдались при 230 К для образцов  $\text{CuO}_x$  с  $x < 1$ .

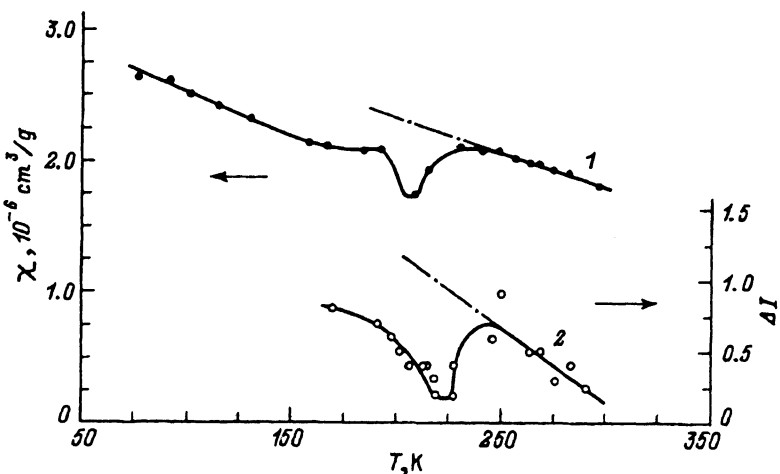


Рис. 2. Температурные зависимости магнитной восприимчивости образца  $\text{CuO}_x$  ( $x = 0.86$ ), измеренные на магнитных весах при  $H = 8900$  (1) и 500 Ое (2).

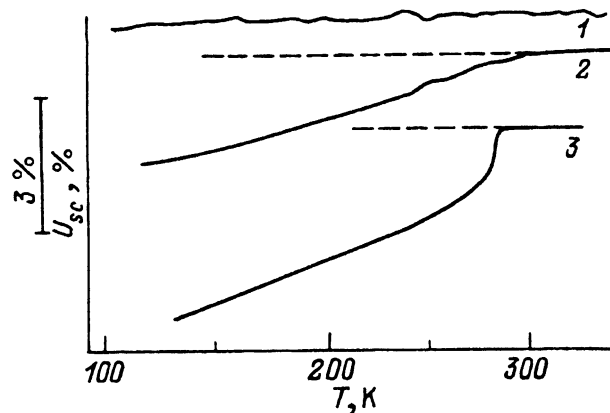


Рис. 3. Температурная зависимость эффекта экранирования контактных структур пленка меди-моноокристалл CuO.

На рис. 3 изображен эффект экранирования для двух образцов — контактных структур пленка меди-моноокристалл CuO. Линия 1 — прибор без образца. Видны аномалии при 308 (образец A) и при 290 К (образец B). Эффект соответствует более чем 3% примесной фазы. Следует заметить, что на ряде образцов первой и второй групп также наблюдались аномалии при  $T$  до 240–280 К, однако их величина была  $\leq 1\%$ .

В отличие от чистых и стехиометрических образцов CuO, в которых ЭПР не наблюдается [10], частично восстановленные образцы CuO<sub>x</sub> показывают четкие сигналы ЭПР с  $g$ -фактором, равным  $2.05 \pm 0.05$ . Обнаружена корреляция параметров сигнала со степенью восстановления CuO. Образцы CuO<sub>x</sub> с содержанием Cu<sub>2</sub>O до 10% имеют линию слабой интенсивности с  $\Delta H = 600$  Ое, при содержании Cu<sub>2</sub>O около 15%  $\Delta H = 500$  Ое, при 20% Cu<sub>2</sub>O  $\Delta H = 440$  Ое, а при 40% Cu<sub>2</sub>O  $\Delta H$  сузилась до 160 Ое. Это уменьшение  $\Delta H$  может быть связано с эффектом обменного сужения при увеличении концентрации парамагнитных ионов.

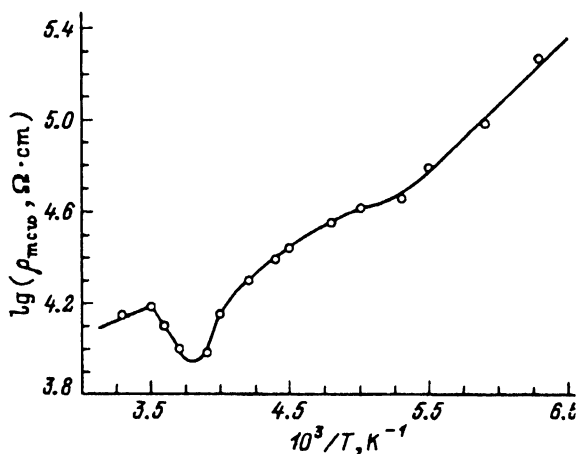


Рис. 4. Температурная зависимость электросопротивления, измеренного на СВЧ, для частично восстановленного CuO<sub>x</sub> ( $x < 1$ ).

нов  $\text{Cu}^{2+}$  в примесной фазе. Все эти образцы имели «парамагнитный» ход  $\chi(T)$  и показывали вышеуказанные аномалии.

Измерения электропроводности на постоянном токе образцов  $\text{CuO}_x$  с  $x < 1$  и других образцов, на которых наблюдалась аномалии, не показали каких-либо особенностей в температурном ходе проводимости. Это можно объяснить малым объемом примесной фазы в образце и соответственно отсутствием сквозной проводимости через образец и (или) недостаточно малой (большой, чем критическая) плотностью тока через образец. Однако при температурных измерениях СВЧ-электросопротивления в образцах  $\text{CuO}_x$  с  $x < 1$  наблюдался четкий минимум  $\rho_{tcs}$  при охлаждении (рис. 4). Аномалия  $\rho_{tcs}$  в виде минимума при температуре ниже критической является следствием специфики СВЧ-методики измерения  $\rho_{tcs}$  малых объемов примесной ВТСП-фазы в матрице  $\text{CuO}$  [11].

### 3. Обсуждение

Характер обнаруженных аномалий позволяет предположить, что их причиной является примесь (зародыши) сверхпроводящей фазы в исследованных образцах системы медь–кислород. Об этом свидетельствуют наличие специфической диамагнитной аномалии магнитной восприимчивости и ее зависимость от величины магнитного поля, а также аномалии намагниченности, четкие эффекты экранирования и минимум  $\rho_{tcs}$  ниже критической температуры. Наличие примесной фазы в исследованных образцах подтверждается исследованиями ЭПР. Поскольку  $\text{CuO}$  [10] и  $\text{Cu}_2\text{O}$  не имеют сигнала ЭПР, то регистрация ЭПР в исследованных образцах системы  $\text{CuO}$ – $\text{Cu}$  свидетельствует о наличии здесь третьей (примесной) фазы.

Малое содержание примесной фазы в образцах (1–3% по объему) не позволяет пока идентифицировать ее рентгенографически. Однако исследования свойств показали, что эта фаза имеет «парамагнитную» температурную зависимость, более высокое значение магнитной восприимчивости и четкие сигналы ЭПР (в отличие от стехиометрического  $\text{CuO}$ ).

Можно сделать некоторые предположения о возможной природе этой примесной фазы. Так, в [8] предполагалось, что наличие в образцах  $\text{CuO}_x$  с  $x < 1$  фазы  $\text{Cu}_2\text{O}$  с кубической структурой может привести к эпитаксиальному росту гипотетической фазы  $\text{CuO}$  со структурой  $\text{NaCl}$  на поверхности зерен  $\text{Cu}_2\text{O}$ . Такая фаза  $\text{CuO}$  могла бы быть благоприятной для реализации ВТСП [8]. Другая возможность связана с предположением об образовании в  $\text{CuO}_x$  с  $x < 1$  примесной фазы оксида  $\text{Cu}_4\text{O}_3$  с тетрагональной структурой [12]. Эта фаза близка структурно к фазе  $\text{CuO}$  и имеет ионы меди в состояниях  $\text{Cu}^{1+}$  и  $\text{Cu}^{2+}$ . Такая фаза также может быть перспективной для сверхпроводимости. Возможной причиной образования примеси сверхпроводящей фазы в полупроводниковой антиферромагнитной матрице  $\text{CuO}$  может быть и так называемое спонтанное разделение фаз [13]. В этом случае за счет самолокализации носителей заряда в матрице  $\text{CuO}$  могут зарождаться микрокапли с металлической проводимостью и иной нежели у матри-

цы магнитной структурой, в частности магнитно-разупорядоченной (см. также [14]).

Высокие значения критических температур и метастабильный характер аномалий, согласно теории [15], могут быть связаны со сравнительно большим  $2p$ - $3d$ -энергетическим зазором оксида меди.

Таким образом, изложенные результаты позволяют предположить, что в простейшей по составу двухкомпонентной системе медь-кислород при определенных условиях возможно образование зародышей метастабильной сверхпроводящей фазы с высокой (до 200–300 К) критической температурой.

Работа поддержана Российским фондом фундаментальных исследований (проект № 16063), а также программой «Поверхностные атомные структуры» (проект № 95-2.10).

### Список литературы

- [1] А.А. Самохвалов, Н.А. Виглин, Б.А. Гижевский, Н.Н. Лошкарева, В.В. Осипов, Н.И. Солин, Ю.П. Сухоруков. ЖЭТФ **103**, 3, 951 (1993).
- [2] А.А. Самохвалов, Н.Н. Лошкарева, Ю.П. Сухоруков, В.А. Груверман, Б.А. Гижевский, Н.М. Чеботаев. Письма в ЖЭТФ **49**, 8, 456 (1989).
- [3] T.I. Arbuzova, A.A. Samokhvalov, I.B. Smolyak, B.V. Karpenko, N.M. Chebotarev, S.V. Naumov. J. Magn. Magn. Mater. **95**, 168 (1991).
- [4] И.Б. Крынецкий, А.С. Москвин, С.В. Наумов, А.А. Самохвалов. Письма в ЖЭТФ **56**, 11, 584 (1992).
- [5] L.D. Finkelstein, V.R. Galakhov, V.V. Fedorenko, L.V. Elochin, A.A. Samokhvalov, E.Z. Kurmaev. Solid State Commun. **90**, 12, 769 (1994).
- [6] C.B. Azzoni, G.B. Paravicini, G. Samoggia, P. Ferloni, F. Parmigiani. Z. Naturforsch. **45a**, 790 (1990).
- [7] F. Marabelli, G.B. Paravicini, P. Wachter. Solid State Commun. **86**, 3, 131 (1993).
- [8] М.В. Красинькова, Б.Я. Мойжес. Письма в ЖТФ **17**, 7, 1 (1991).
- [9] V.A. Teplov, V.P. Pilugin, V.S. Gaviko, F.G. Chernishov. Nanostruc. Mater. **6**, 1-4, 437 (1995).
- [10] Н.А. Виглин, С.В. Наумов, А.А. Самохвалов. ФТТ **38**, 4, 1277 (1996).
- [11] Н.И. Солин, А.Б. Давыдов, Г.Л. Штрапенин. Дефектоскопия. 8, 95 (1982).
- [12] M. O'Keeffe, J.-O. Bovin. Am. Mineral. **63**, 180 (1978).
- [13] Э.Л. Нагаев. УФН **165**, 5, 529 (1995).
- [14] А.С. Москвин, Н.Н. Лошкарева, Ю.П. Сухоруков, М.А. Сидоров, А.А. Самохвалов. ЖЭТФ **105**, 4, 967 (1994).
- [15] T. Tsang. Physica C **235-240**, 2273 (1994).